

(12)特許協力条約に基づいて公開された国際出願

(19)世界知的所有権機関
国際事務局(43)国際公開日
2002年12月27日 (27.12.2002)

PCT

(10)国際公開番号
WO 02/103716 A1

(51)国際特許分類: H01B 12/04, 13/00, H01F 6/00

(21)国際出願番号: PCT/JP02/05814

(22)国際出願日: 2002年6月11日 (11.06.2002)

(25)国際出願の言語: 日本語

(26)国際公開の言語: 日本語

(30)優先権データ:
特願2001-180990 2001年6月15日 (15.06.2001) JP

(71)出願人(米国を除く全ての指定国について): 株式会社日立製作所 (HITACHI, LTD.) [JP/JP]; 〒101-8010 東京都千代田区神田駿河台四丁目6番地 Tokyo (JP).

(72)発明者; および
(75)発明者/出願人(米国についてのみ): 田中 和英 (TANAKA,Kazuhide) [JP/JP]; 〒319-1292 茨城県日立市大みか町七丁目1番1号 株式会社日立製作所日立研究所内 Ibaraki (JP). 岡田 道哉 (OKADA,Michiya)

[JP/JP]; 〒319-1292 茨城県日立市大みか町七丁目1番1号 株式会社日立製作所日立研究所内 Ibaraki (JP). 森田 裕 (MORITA,Hiroshi) [JP/JP]; 〒319-1292 茨城県日立市大みか町七丁目1番1号 株式会社日立製作所日立研究所内 Ibaraki (JP). 鈴木 保夫 (SUZUKI,Yasuo) [JP/JP]; 〒319-1292 茨城県日立市大みか町七丁目1番1号 株式会社日立製作所日立研究所内 Ibaraki (JP).

(74)代理人: 高田 幸彦 (TAKADA,Yukihiko); 〒317-0073 茨城県日立市幸町二丁目1番48号 Ibaraki (JP).

(81)指定国(国内): US.

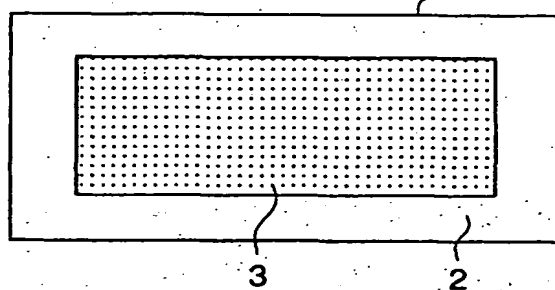
(84)指定国(広域): ヨーロッパ特許 (AT, BE, CH, CY, DE, DK, ES, FI, FR, GB, GR, IE, IT, LU, MC, NL, PT, SE, TR).

添付公開書類:
— 国際調査報告書

2文字コード及び他の略語については、定期発行される各PCTガゼットの巻頭に掲載されている「コードと略語のガイドスノート」を参照。

(54) Title: SUPERCONDUCTING WIRE MATERIAL AND METHOD FOR PREPARATION THEREOF, AND SUPERCONDUCTING MAGNET USING THE SAME

(54)発明の名称: 超電導線材とその作製方法及びそれを用いた超電導マグネット



(57) Abstract: A superconducting wire material which comprises a superconductor containing boron packed or involved therein, characterized in that a metallic cover material of a single metal selected from among gold, silver, aluminum, copper, iron, platinum, palladium, nickel, stainless steel, chromium, magnesium, tantalum, niobium, titanium, tin, beryllium, tungsten and cobalt or an alloy comprising a plurality of the above metals is arranged around the perimeter of the superconductor, the superconductor after the final processing has a density of 80 % or more of the theoretical density thereof, and the superconducting wire material has a critical temperature of 30 K or higher; a method for preparing the superconducting wire material; and a superconducting magnet using the material. The superconducting wire material exhibits a practical critical current density.

[競業有]

BEST AVAILABLE COPY



(57) 要約:

本発明の目的は、ホウ素を含む超電導体を充填又は内包してなる超電導線材において、実用的な臨界電流密度を有することを可能にした超電導線材とその製造方法、及びそれを用いた超電導マグネットを提供することにある。

本発明は、ホウ素を含む超電導体を充填又は内包してなる超電導線材において、該超電導体の外周に金、銀、アルミニウム、銅、鉄、白金、パラジウム、ニッケル、ステンレス、クロム、マグネシウム、タンタル、ニオブ、チタン、スズ、ベリリウム、タンクステン、コバルトから選ばれた単独の金属或いはそれらの複数から成る合金の金属被覆材が配置され、最終加工後の該超電導体の密度が理論密度の80%以上であり、かつ該超電導線材の臨界温度が30K以上であることを特徴とする。

明細書

超電導線材とその作製方法及びそれを用いた超電導マグネット

5 技術分野

本発明は、臨界温度以下の環境において、超電導性を発現する超電導体を用いることによって、高い超電導臨界電流密度が得られる超電導線材とその製造方法、及びそれを用いた超電導マグネットに関するものである。具体的には、電流リード、送電ケーブル、大型マグネット、核磁気共鳴分析装置、医療用磁気共鳴診断装置、超電導電力貯蔵装置、磁気分離装置、磁場中単結晶引上装置、冷凍機冷却超電導マグネット装置、超電導エネルギー貯蔵、超電導発電機、核融合炉用マグネット等の機器において適用される。

背景技術

従来、超電導材料としてはNbTi, Nb₃Sn等の金属系のものが知られている。しかし、これらの金属系超電導材料は臨界温度が最も高いNb₃Geでも2.3K(ケルビン)であり、冷却には高価な液体ヘリウムを使用しなければならない問題があった。

一方、高温超電導体においては、1986年4月に臨界温度が30Kのランタン(La)系酸化物系超電導体が発見されて以降、臨界温度が液体窒素の沸点温度(7.7K)を超えるイットリウム(Y)系、ビスマス(Bi)系、タリウム(Tl)系、水銀(Hg)系というような各銅系酸化物系超電導体が相次いで発見された。しかしながら、これら銅系酸化物はいわゆるセラミックスで構成されていることから、加工が困難で線状に伸ばしにくいという欠点があった。

最近になって、Nature 410, 63-64(2001)で報告されたように、二ホウ化マグネシウム(MgB₂)がおよそ40Kで超電導を示すことが見い出された。この材料は、金属系超電導材料よりも臨界温度が高いため、今後電気

自動車等での適用により需要が拡大し、液体ヘリウムに比べて大幅に安価になると見られている液体水素を使用することができる。また、入手が容易で、原材料費が安いマグネシウム (Mg) とホウ素 (B) から成るうえ、薄く延ばしたり曲げたりすることが比較的簡便である。さらに、酸化物超電導線材を作製する際に通常用いる「パウダー・イン・チューブ法」で線材を製造することが可能であるため、製造コストの面で極めて魅力的な材料として位置付けられている。

以上のことから、MgB₂系線材で実用的な超電導特性が維持できるようになれば、送電ケーブル等の電力応用のみならず、例えば近年脚光を浴びている分野の一つであるバイオサイエンスへの応用等、様々な分野への貢献が期待できる。

しかし、これまでに試作されているMgB₂系超電導線材は、従来の金属系及び酸化物系超電導体に比べて、現状では臨界電流密度、上部臨界磁場、及び不可逆磁場が極めて低いという課題がある。例えば、日経メカニカルニュース 15 2月28日号 (No.870) に記載されているように、臨界電流密度は温度5K、磁場1Tの条件下で約10万A/cm²、温度20K、磁場1Tの条件下で4万A/cm²であり、実用を考えると1桁近く臨界電流密度を向上させる必要がある。

以上のような課題を解決すべく、MgB₂を高圧下で合成したり、MgB₂の単相化を進める検討が鋭意行われている。しかしながら、従来、実用的な臨界電流密度、上部臨界磁場、及び不可逆磁場を有するMgB₂系超電導線材は得られていない。

発明の開示

本発明は、以上述べたような事情に鑑みてなされたものであり、ホウ素を含む超電導体を充填又は内包してなる超電導線材において、磁場中においても実用的な臨界電流密度を有する超電導線材とその製造方法、及びそれを用いた超電導マグネットを提供することを目的とする。

発明者らはこれまで、主に酸化物超電導線材及びそれを用いたマグネットの応用を目指した研究開発を進めてきた。この中で、臨界電流密度を向上させる項目として、特に以下の4項目が重要であることを明らかにしてきた。すなわち、①超電導体と熱的に反応しない金属被覆材の選定、②最終形状に加工した際の超電導体の充填密度、③結晶粒同士の接合性の向上、④量子化された磁束線をトラップして、侵入した磁束線を動かないようにするピンニングセンターの導入である。以上の4項目を同時に実現することで、高い特性を有する超電導線材が得られる。しかし、臨界電流密度は物質固有の値ではなく、作製方法に大きく依存する。このため、酸化物超電導線材や従来金属系超電導線材に適用してきた方法だけでは、臨界電流密度はあまり向上しないことが分かった。故に、材料によってそれぞれ最適化を行う必要があり、ホウ素を含む超電導体においても独自の検討が必要となった。

そこで発明者らは、上記課題を解決することに注力した結果、従来の超電導線材及び超電導マグネットに比べて超電導特性を大幅に向上可能な、新規の超電導線材とその製造方法及び超電導マグネットを見い出したのでここにまとめた。

すなわち、上記目的は、ホウ素を含む超電導体を充填又は内包してなる超電導線材において、該超電導体の外周に金、銀、アルミニウム、銅、鉄、白金、パラジウム、ニッケル、ステンレス、クロム、マグネシウム、タンタル、ニオブ、チタン、スズ、ベリリウム、タングステン、コバルトから選ばれた単独の金属或いはそれらの複数から成る合金の金属被覆材が配置され、最終加工後の該超電導体の密度が理論密度の80%以上であり、かつ該超電導線材の臨界温度が30K以上である超電導線材によって達成できる。

また、上述の超電導線材において、該超電導線材に含まれる超電導体中に、該超電導体よりも低融点の金属粉末が添加されている超電導線材によって達成できる。

また、上述の超電導線材において、該金属粉末の元素がインジウム、鉛、金、

銀、マグネシウム又はアルミニウムから選ばれる単独或いはそれらの複数から成る超電導線材によって達成できる。

また、上述の超電導体の平均結晶粒径 S と、上述の金属粉末の平均粒径 M が、
5 $S \geq M$ の関係であるとき、その効果が極めて大きい。さらに、超電導体の平均
結晶粒径が $20 \mu\text{m}$ 以下であれば、臨界電流密度を一層向上させることが可能
となる。

また、上述の該金属粉末の添加量が、該超電導体の重量比率に対して 50 以下である超電導線材により達成できる。

また、超電導線材の製造方法において、ホウ素を含む超電導体を合成する第
10 1 の工程と、該第 1 の工程で作製した該超電導体を金、銀、アルミニウム、銅、
鉄、白金、パラジウム、ニッケル、ステンレス、クロム、マグネシウム、タン
タル、ニオブ、チタン、スズ、ベリリウム、タンゲステン、コバルトから選ば
れた単独の金属或いはそれらの複数から成る合金の金属被覆材に充填又は内包
する第 2 の工程と、該第 2 の工程で作製した線材に断面積の減少率が少なくとも
15 10 % 以上となる縮径加工を行う第 3 の工程、或いは該線材に少なくとも 1
ton/cm² 以上の圧力を加えて変形させる第 4 の工程の一方又は両方の工程を有
することにより達成できる。

また、超電導線材の製造方法において、上述の第 3 の工程或いは第 4 の工程
において、超電導線材内に含まれる超電導体もしくは添加した金属粉末の単独
20 あるいは両方の一部分が溶融し始める温度以上の領域まで温度が上昇すること
により達成できる。この場合、超電導線材の製造工程において、該超電導線材
に対する加熱処理工程を一度も行わなくても良いというメリットがある。

また、超電導線材の製造方法における第 1 の工程において、フッ化物を原料
とすることにより達成できる。これは、超電導体の合成において、フッ素の拡
25 散が超電導体の単相化を促進させることを筆者らは実験により確認している。

また、上述の超電導線材の製造方法により作製した超電導線材を用いて、コ
イル状に巻線する永久電流スイッチを有する超電導マグネットであって、該超

電導マグネットの両端の電気抵抗が、永久電流磁石として機能する程度に十分低く構成することで永久電流マグネットが実現できる。この際、異種の超電導体を組み合わせて成る該超電導マグネットにおけるそれぞれの超電導体同士の接続部分において、上述の超電導線材の製造方法により作製した超電導線材を用いると、その効果は極めて大きい。具体的には、複数の超電導体同士の接続部に本発明の超電導線材を圧着して使用することが好適であり、抵抗値を1～4桁低減することができる。

また、超電導マグネットの機械強度が、該超電導マグネットに加わる電磁力を支持するに十分な強さであることにより、強磁場超電導マグネットが実現できる。この場合、超電導線材と合わせ巻きする該絶縁材として0.1～20%のアルミニウムを含有する銅合金、ステンレス鋼、チタン合金、鉄基耐熱合金、ニッケル基耐熱合金、コバルト基耐熱合金から選ばれる単独或いはそれらの複数から成る金属を用いると、その効果は極めて大きい。

本発明における超電導粉末、焼結体、塊の製造方法としては、それぞれの化合物を粉碎、混合し、その混合物を焼成する方法が挙げられる。この方法には、原料化合物のすべてを一度に混合する方法や原料化合物の一部を予め混合した後、残りの原料粉末を混合する方法がある。

本発明における超電導粉末の合成の熱処理温度は、600～1200°Cの範囲内が用いられる。また、必要に応じて酸素ガス、窒素ガス、アルゴンガス等を単独あるいは混合して熱処理を行う。さらに、必要に応じて、大気圧以上の圧力で加圧しながら熱処理を行う。

超電導線材の作製方法は、これまでに多くの方法が提案されているが、ここではその1つの例としてパウダー・イン・チューブ法について詳しく述べる。

上述した様な方法で超電導体、あるいは前駆体を合成した後、適当なサイズに粉碎、焼結したものをパイプ状の金属被覆材に充填する。金属被覆材には、金、銀、アルミニウム、銅、鉄、白金、パラジウム、ニッケル、ステンレス、クロム、マグネシウム、タンタル、ニオブ、チタン、スズ、ペリリウム、タン

グステン、コバルトから選ばれた単独或いは複数からなるものを用いる。金属被覆材は、超電導体と熱的に反応しないことはもちろん、量産化を考えると加工性が良好である必要がある。

また、線材の多芯化を行う場合には、複数の金属被覆材が配置されることになるが、それらの種類や材質等が異なってもよい。その場合、被覆材が二重構造の場合、内側及び外側の金属被覆材は超電導体と熱的な反応をしないものが適するが、外側の金属被覆材は反応だけでなく、高強度のものとするのが好適である。これには、被覆材兼補強材とすることができるメリットがある。また、この金属の表面に酸化皮膜等の絶縁膜を形成すれば、さらに絶縁材の役割を果たすことが可能になる。

線材の縮径加工は、ドローベンチ、スエージャー、カセットローラーダイス、あるいは溝ロールを用いて 1 パス当たりの断面減少率が 1 ~ 20 % 程度の伸線加工を繰り返し行う。必要に応じて、線材の多芯化を行うこともある。多芯化を行う方法は、丸断面形状あるいは六角断面形状に伸線加工した線材をパイプに組み込み、上述したような装置を用いて、1 パス当たりの断面減少率が 1 ~ 20 % 程度で所定の線径まで伸線する。ここでの工程は、線材を所望の形状にすると同時に、金属被覆材内に充填された超電導粉末を高密度化する作用がある。さらに緻密化を図るため、冷間あるいは熱間圧延機で加工し、平角状あるいはテープ状の断面とし、適切な温度や雰囲気で熱処理をすることによって高い臨界電流密度を持った線材が得られる。

本発明における超電導線材は、最終形状に加工された場合の超電導体の密度が理論密度に対して 80 % を超えた場合に、高い臨界電流密度を持った線材が得られる。

本発明における超電導線材の最終的な熱処理温度としては、600 ~ 1200 °C の範囲内が用いられるが、熱処理を行わなくても高い臨界電流密度が得られる。これは、線材の縮径加工工程や変形加工工程で結晶粒同士の接合性が良好な状態になるためであることを筆者らは実験により確認している。但し、超

電導相の単相化を進めるには、熱処理は有効であり、単相化の促進により場合によっては臨界電流密度が10%近く向上することがある。しかし、臨界電流密度を向上させるに適する超電導体の結晶粒径は20μm以下であり、この粒径を超えると臨界電流密度が低下することを確認した。

5 作製した線材は、目的に応じて一本以上複合させてコイル状に巻いたり、リード線状やケーブル線状に成形して利用する。熱処理を行う場合は、超電導体の特性を高めるため、熱処理雰囲気が材料によって選択される。例えば、酸素ガス、窒素ガス、アルゴンガスを単独あるいは混合したガスを適当な流量だけ気流、又は封入して、熱処理される。また、MgB₂系超電導体では、蒸気圧
10 の高いマグネシウムが熱処理中に飛散して組成ずれを起こし、超電導特性を劣化することがあるため、例えばマグネシウム焼結体を同時に熱処理する等して、擬マグネシウム雰囲気を作った状態で熱処理すると効果的である。さらに、金属被覆材にマグネシウムを含有することも同様の効果を有する。

また、本発明における超電導体よりも融点が低い金属粉末を添加することにより、結晶粒間の接合性が向上し、高い臨界電流密度が得られる。また、添加した金属が超電導体の結晶粒界及び粒内に分散することで、ピンニング力を高めることも可能となる。金属粉末の元素としては、低融点材料のインジウム、鉛が望ましいが、金、銀、マグネシウム又はアルミニウムを含んでも良い。そして、平均結晶粒径が10μm以下であることが望ましい。これは、添加金属が非超電導層であるため、10μmよりも大きな場合には、電流バスを遮断するためである。また、添加する量が少なすぎても或いは多すぎても好ましくなく、超電導体の重量比率に対して50以下である必要があることを筆者らは実験により確認している。

また、本発明の線材の作製工程において、超電導線材の最終形状が断面積の減少率として少なくとも10%以上になる加工を施す必要がある。断面減少を行う伸線或いは圧延加工は、上述のように金属被覆材内に充填された超電導体を高密度化する作用がある。さらに、超電導線材に1ton/cm²以上の圧力を加

えて変形させることも同様の効果を有する。これらのプロセスは、結晶粒同士の接合性を向上させることから、臨界電流密度が向上する。また、縮径加工や変形加工の際に、超電導体もしくは添加した金属粉末の一方或いは両方の一部が溶融することで、結晶粒の接合性がさらに向上することも筆者らは実験に

5 より明らかにした。

上述した方法以外にも、例えば溶射法、ドクターブレード法、ディップコート法、スプレーバイロリシス法、あるいはジェリーロール法等で作製した線材を用いても同等の超電導特性を得ることは可能である。

また、本発明における超電導線材は、線材自身の降伏応力、引張り強さ、ヤング率等の機械強度が極めて高いため、強磁場発生時の電磁力に耐え得るマグネットが構成できる。そして、両端抵抗を十分に小さくすることにより、永久電流マグネットが実現できる。

本発明における超電導マグネットを作製する場合、超電導線材とともに巻合わせる絶縁材は、コイル設計上、密に巻線を行って発生磁場を高めることが重要であることから、絶縁層の厚みを0.3mm以下にすることが好ましく、さらに好ましくは0.1mm以下にまで薄くする。また、極低温への冷却を行っても、絶縁性、密着性、強度及び耐熱性が良好であることが重要である。絶縁材の材料としては、0.1～20%のアルミニウムを含有する銅合金、ステンレス鋼、チタン合金、ニッケル基合金、コバルト基合金から選ばれる単独或いは複数から成る金属を用いることが望ましい。

本発明において製造された超電導体を、仮に液体ヘリウム中で使用する場合には、金属系超電導体や酸化物超電導体と組み合わせる構造にすることで、より強い磁場を発生する超電導マグネット等の実用導体が実現できる。このときの金属系超電導体としては、NbTi系合金、Nb₃Sn系化合物、Nb₃Al系化合物、V₃Ga系、シェブレル系化合物を用い、必要に応じて2種以上のマグネットを配置する。このときの酸化物超電導体は、Y系、Bi系、Tl系、Hg系、Ag-Pb系超電導体が望ましい。

また、本発明において製造された超電導体を液体水素及び液体ネオン中で使用する場合には、酸化物超電導体と組み合わせることにより、より高性能の超電導マグネット等の実用導体が実現できる。

5 このようにして作製した超電導線材は、超電導マグネットのほか、送電ケーブル、電流リード、MRI装置、NMR装置、SMES装置、超電導発電機、超電導モータ、磁気浮上列車、超電導電磁推進船、超電導変圧器、超電導限流器などに用いることができる。また、超電導線材を所望の形状に加工した導体は、コイル、電流リード、ケーブル等の導体用に変形加工された後、組み込まれる。また、その使用温度が液体水素温度、或いは液体ネオン温度以上であれば、10 一層効果的である。

図面の簡単な説明

第1図は本発明の丸形状超電導線材の断面模式図、第2図は本発明の平角形状超電導線材の断面模式図、第3図は超電導体の密度を変化させた線材の印加磁場と臨界電流密度の関係を示す図、第4図は本発明の超電導線材を製造するための工程の一例を示す図、第5図は本発明において製造した超電導コイルの断面模式図、第6図は本発明の超電導マグネットシステムの一例を示す図、第15 第7図は本発明の超電導マグネットシステムの一例を示す図である。

発明を実施するための最良の形態

以下、本発明を実施例に基づいて説明する。但し、本発明は、これらに限定20 されるものではない。

まず、本発明の超電導線材の製造方法を説明する。出発原料として、マグネシウム粉末 (Mg; 純度 99%) とアモルファス状ホウ素粉末 (B; 純度 99%) を用いて、マグネシウムとホウ素が原子モル比で 1 : 2 になるように秤量し、10 ~ 60 分間にわたって混合する。次に、この混合体を 700 ~ 1000°C の温度で、2 ~ 20 時間にわたって熱処理し、MgB₂ 超電導体を作製する。25 このとき、100 MPa 以上の圧力を加えて熱処理することもある。得られた粉末の X 線回折を行ったところ、強度比換算で MgB₂ 超電導体が

95%以上含まれていることが分かった。 MgB_2 以外には、若干の MgO 及び MgB_4 も含まれていた。

次いで、得られた粉末を外径 6mm、内径 5mm、長さ 500mm の円形の断面形状を有するアルミニウムパイプに充填する。この線材を、断面積の減少率 3 乃至 10% で伸線加工し、所定形状まで縮径する。必要に応じて、線材の横断面形状を橢円形、六角形、平角形又は丸形状の横断面形状に減面加工する。本実施例では、外径 2.0mm 程度の丸線と厚さ 1mm、幅 2mm の平角線になるまで縮径することにより、第 1 図及び第 2 図に示すような超電導線材 1 を得た。第 1 図は丸線、第 2 図は平角線の断面模式図である。超電導線材 1 は、金属被覆材 2 の中に超電導体 3 が充填又は内包されている。なお、ここでは、单芯線を作製したが、必要に応じて線材の多芯化も行う。

本実施例では、ここで、700~1000°C の温度で、2~20 時間にわたって熱処理した超電導線材 A と縮径加工のみで熱処理を行わない超電導線材 B を作製した。

なお、円形、橢円形、矩形及び六角形の線材の外径は、対辺の長さが最も短い部分で 1~2mm 程度が実用上望ましいが、用途や通電電流に応じて適切な外径とすればよく、特に限定されるものではない。

次に、本実施例で作製した超電導線材 A 及び超電導線材 B の断面を走査型電子顕微鏡で観察した。その結果、超電導線材 A の結晶粒径は平均 12 μm であり、超電導線材 B の結晶粒径は平均 7 μm であることを確認した。この線材の臨界温度を直流四端子法で測定したところ、両者とも 39 K で電気抵抗がゼロになることが確認できた。また、温度 10 K、磁場 1 T 中における臨界電流密度を測定したところ、超電導線材 A は $6 \times 10^4 A/cm^2$ 、超電導線材 B は $5.5 \times 10^4 A/cm^2$ を得た。その後の実験において、超電導体の合成温度や線材の熱処理温度を上昇し、超電導線材 A 及び超電導線材 B の結晶粒径を増大させ、温度 10 K、磁場 1 T 中における臨界電流密度を測定した。第 1 表に示すように、両線材において、結晶粒径が 20 μm よりも粗大化すると、臨界電流密度

が低下する傾向が認められた。これは、結晶が粗大化する温度ではMgB₄や他の同定できない非超電導相も同時に粗大化し、電流パスを遮断するためである。以上の結果から、超電導線材内の超電導体の平均結晶粒径は20μm以下にすることが効果的であることが明らかになった。

5

第1表

平均粒径 (μm)	8	11	14	17	20	23	26	29	32	35
超電導線材Aの臨界電流密度 (X10 ⁴ A/cm ²)	6.0	6.5	5.5	6.1	5.7	4.5	4.9	4.5	4.2	3.2
超電導線材Bの臨界電流密度 (X10 ⁴ A/cm ²)	5.7	6.0	5.8	5.7	6.1	4.8	4.5	4.2	4.1	3.6

次に、線材内部の超電導体の密度を調査したところ、両者とも理論密度の90%であることが確認できた。理論密度に対する実密度と臨界電流密度の関係

10 を明らかにするために、線材内部の密度を理論密度の90%のものと70%のものを作製し、それらの臨界電流密度の磁場依存性を測定した。

第3図は、臨界電流密度と印加磁場との関係を示す線図である。理論密度の70%の線材5は90%の線材4に比べて、ゼロ磁場及び磁場中の臨界電流密度が1/5以下であり、電流密度には線材内部の理論密度依存性があることが分かった。図中、4は理論密度の90%の密度を有する超電導線材の臨界電流密度の磁場依存性、5は理論密度の70%の密度を有する超電導線材の臨界電流密度の磁場依存性を示す。

その後の実験において、線材内部の超電導体の密度を変化させ、臨界電流密度に及ぼす影響を調査した。なお、いずれの線材も臨界温度は37.5~39Kで電気抵抗がゼロになることを確認した。

臨界電流密度の測定は、温度10K、磁場1T中で行った。その結果、第2表に示すように、超電導線材内に内包される超電導体の密度が理論密度の80%以下の場合には臨界電流密度が低下する傾向が認められた。以上より、超

電導体の密度は理論密度の80%以上にすることが効果的であることを明らかにした。

第2表

理論密度に対する実密度の比率 (%)	60	65	70	75	80	85	90
超電導線材Aの臨界電流密度 ($\times 10^4$ A/cm ²)	0.6	0.9	1.5	1.9	5.8	5.9	6.0
超電導線材Bの臨界電流密度 ($\times 10^4$ A/cm ²)	0.2	1.1	1.5	2.3	5.8	6.2	6.1

5

本実施例では、超電導体を充填する金属被覆材はアルミパイプを使用したが、その後の実験において、種々の金属パイプを用い、第1図に示す工程に従って線材を作製し、臨界電流密度を調査した。なお、線材作製後の熱処理は行わなかった。その結果、金属被覆材には、金、銀、アルミニウム、銅、鉄、白金、パラジウム、ニッケル、ステンレス、クロム、マグネシウム、タンタル、ニオブ、チタン、スズ、ベリリウム、タングステン、コバルトから選ばれた単独の金属或いはそれらの複数から成る合金を用いることで、温度10K、磁場1T中での臨界電流密度が $5.3 \sim 6.5 \times 10^4$ A/cm²が得られることが分かった。また、これらの線材の臨界温度を直流四端子法で測定したところ、全て35.5~39.5Kで電気抵抗がゼロになることが確認できた。このことから、金属被覆材には、金、銀、アルミニウム、銅、鉄、白金、パラジウム、ニッケル、ステンレス、クロム、マグネシウム、タンタル、ニオブ、チタン、スズ、ベリリウム、タングステン、コバルトから選ばれた単独の金属或いはそれらの複数から成る合金を用いることが効果的であることが明らかになった。

なお、必要に応じて、金属被覆材と超電導体の間に中間層を設ける場合がある。特に、超電導体に含有される元素を含んだ中間層であれば一層好ましい。例えば、MgB₂系超電導線材における中間層には、MgOを配置すると良い。中間層の代表例としては、MgO以外にもSrTiO₃やハステロイが挙げら

れるが、超電導体との熱的な反応によって、該超電導体が性質を損なわないものであれば、どのような元素から成るものであっても構わない。

また、我々は、本発明における超電導線材に含まれる超電導体に金属粉末を添加することが、臨界電流密度の向上に有効であることを見い出した。以下、
5 このことについて、詳細に述べる。

フッ化マグネシウム粉末 (Mg ; 純度 99%) とアモルファス状ホウ素粉末 (B ; 純度 99%) を用いて、マグネシウムとホウ素が原子モル比で 1 : 2 になるように秤量し、10~60 分間にわたって混合する。次に、得られた混合体を 800~1100°C の温度で、2~10 時間にわたって熱処理し、MgB₂ 超電導粉末を作製する。得られた粉末の X 線回折結果は、強度比換算で MgB₂ 超電導体が 97.5% 以上含まれていることが分かった。原材料として、フッ化物を使用した方が超電導体の単相化には効果があるといえる。異相としては、若干の MgB₄ と同定できない非超電導相も含まれていた。

その後、得られた超電導粉末の重量比率に対し、インジウム、鉛の一方或いは両方で構成される金属粉末が 1% の重量となるように秤量し、超電導粉末と金属粉末を 10~60 分間にわたって混合する。次いで、得られた粉末を外径 6 mm, 内径 4.5 mm, 長さ 500 mm の円形の断面形状を有する銅パイプに充填する。この線材を、断面積の減少率 3 乃至 10% で伸線加工し、第 2 図のような厚さ 1 mm, 幅 2 mm の平角線に加工した。なお、今回は縮径加工のみで熱処理は
15 行わなかった。

得られた線材の臨界温度を直流四端子法で測定したところ、全て 3.8~3.9 K で電気抵抗がゼロになることが確認できた。また、温度 10 K, 磁場 1 T 中で臨界電流密度を測定したところ、 $7.1 \sim 8.2 \times 10^4 \text{ A/cm}^2$ が得られることが分かった。その後、走査型電子顕微鏡により、線材の断面観察を行った結果、添加した金属元素を見つけることができなかった。次に、透過型電子顕微鏡により、断面の観察を行った結果、金属元素は超電導体の結晶粒界に存在していることが確認できた。このことから、臨界電流密度が向上した要因として、
20

添加した金属粉が結晶粒同士の接合性を向上させていたことが考えられる。

また、その後の実験により、上述した金属粉末の元素として、インジウム或いは鉛と一緒に金、銀、マグネシウム、アルミニウムの単独或いはそれらの複数から成る混合物を添加した場合においても、温度 20 K, 磁場 1 T 中での臨界電流密度は、 $6.9 \sim 8.2 \times 10^4 \text{ A/cm}^2$ が得られることが分かった。

しかしながら、金、銀、マグネシウム、アルミニウムは超電導体に比べて低融点の金属ではないため、インジウムや鉛のように溶融しているとは考えられない。このため、走査型電子顕微鏡により、断面観察を行った。その結果、それらの金属は、結晶粒内に存在しており、かつ若干ではあるがピンニングセンターとして作用していることが確認できた。

しかし、超電導体の平均結晶粒径と添加する金属粉末の平均結晶粒径について、超電導体の方が金属粉末よりも平均結晶粒径が大きくないと何ら効果を示さず、むしろ臨界温度や臨界電流密度は低下することが分かった。

以上より、超電導体に、インジウム、鉛、金、銀、マグネシウム、アルミニウムから選ばれる単独或いはそれらの複数から成る金属粉末を添加することにより、高い臨界電流密度を持つ超電導線材が得られるようになる。但し、この時の金属粉末の平均結晶粒径は、超電導体の平均結晶粒径よりも小さくなければならないことを明らかにした。

第3表は、添加する金属粉末量の最適化を検討した結果である。実験は、超電導体の重量比に対して金属粉末を 0.001 ~ 75% 添加し、温度 10 K, 磁場 1 T 中における臨界電流密度を調査した。

第3表

金属粉末の添加比率 (%)	0.001	0.005	0.008	0.01	1	10	25	40	50	60	70	75
臨界電流密度 ($\times 10^4 \text{ A/cm}^2$)	7.5	7.4	6.9	7.0	6.9	7.4	7.3	7.2	7.1	3.5	3.2	1.2

第3表に示すように、金属粉末の添加量が超電導体の重量比率に対して、50以下となるようにすることにより、高い臨界電流密度を持つ超電導線材が得られるようになる。

高い臨界電流密度を持つ超電導線材を得るには、超電導体の結晶粒同士の接合性を向上させる有効であるということを示した。結晶粒の接合性を向上するには、低融点の金属粉末を添加することが効果的であるということから、超電導線材の製造工程において、超電導体もしくは添加金属粉を溶融させることができないか検討した。

第4図は、このときの製造工程の一例を示す工程図である。その結果、線材形状を縮径加工する工程と、線材形状を変形加工する工程で結晶粒同士の接合性が向上することが分かった。

そこで、縮径加工における最適な断面積の減少率と、変形加工における最適な圧力について検討を行った。その結果を第4表及び第5表に示す。測定は、温度20K、磁場1T中で行った。

15

第4表

断面積減少率 (%)	0	2	5	7.5	10	15	20
臨界電流密度 ($\times 10^4 A/cm^2$)	3.6	3.7	3.8	3.7	6.1	6.4	6.0

第5表

圧力 (ton/cm ²)	0	0.2	0.5	0.75	1.0	1.5	2.0
臨界電流密度 ($\times 10^4 A/cm^2$)	3.1	3.7	3.4	3.8	6.5	6.4	6.4

第4表における断面積の減少率は、金属被覆材に充填した形状を基準にした場合の断面積の減少率である。例えば、直径6mmの金属パイプに超電導体を充填した場合は、直径6mmの断面積($S = 9\pi\text{mm}^2$)に対して、10%の断面積減少は、直径5.692mmまで縮径加工したときに達成される。また、充填時に直径10mmであれば、少なくとも直径9.487mmまでの縮径加工を行う必要がある。

第5表における圧力に関しては、例えば圧延加工や一軸プレスにより変形加工を施す際の表面に加わる力である。

以上の結果から、縮径加工においては断面積の減少率が10%以上行った場合、変形加工においては圧力を1ton/cm²加えた場合に臨界電流密度を向上できることが明らかになった。その後の実験で、上記縮径加工と変形加工を同時にを行うとさらに効果的であり、最高値で $7 \times 10^4\text{A}/\text{cm}^2$ を得ることが分かった。

測定後の試料を走査型電子顕微鏡及び透過型電子顕微鏡により、断面観察した結果、10%以上の断面積が減少する縮径加工を行った場合、もしくは1ton/cm²以上の圧力を加えた場合に超電導線材内に含まれる超電導体もしくは添加した金属粉末の一方、或いは両方の一部が溶融していることを確認した。さらに、加工の際に試料に直接熱電対を取付け、加工時の温度を実測した。その結果、両者の加工時に超電導体もしくは添加した金属粉末の一方、或いは両方の一部が溶融し始める温度まで上昇していることも分かった。

第5図は、本発明の超電導線材を用いたコイル断面模式図の一例を示す。ソレノイド巻きコイル6は本発明の実施例の方法で作製した厚さ1mm、幅2mmの平角形状の超電導多芯超電導線材7を用いた。多芯線のため金属被覆材は二重構造となっており、内側の金属被覆材8が銅、外側の金属被覆材9がニッケル基合金である。コイル形状は、内径は75mm、外径は130mmである。ソレノイドコイルの巻きボビン10には外径74.5mm、厚さ2mmの銀基1000ppmマグネシウム酸化物分散強化合金を用いた。

また、本コイルの絶縁材としては、外側の金属被覆材9であるニッケル基合金を絶縁材兼補強材として使用した。この絶縁材は、巻線前にあらかじめ酸化皮膜を形成する熱処理を施している。絶縁材に要求される特性としては、機械的強度に優れ、特に熱処理後における機械的な引っ張り強度の強いものが良い。

5 これは、コイルにかかる耐電磁力対策のためである。電磁力は、大雑把には、印加磁場、コイル電流密度、コイル半径の積で表される。このため、強磁場下やコイル形状が大きくなると、電磁力対策は重要な技術課題となる。このため、絶縁材によりコイルに加わる電磁力を補強することが望ましいが、このとき、絶縁材に要求される仕様として、絶縁性があること、強い機械強度を持つこと、
10 熱処理過程で超電導体を劣化させないこと等があげられる。

これらを満足する金属の中で最も好ましいものは、今回用いたニッケル基合金やアームスブロンズ(銅-アルミ合金)系材料がある。そこで、本実施例では、上述のようなニッケル基合金を厚さ $50\mu\text{m}$ 、幅 2mm 、長さ 500m のテープ状とし、絶縁材11として使用した。この際、上述のように、巻線前にあらかじめ、絶縁テープ表面に緻密な酸化皮膜を形成する熱処理を施した。また、
15 ステンレス鋼などの耐熱金属材料も、あらかじめ表面に酸化皮膜を形成しておけば利用できる。

第5図に示すような、超電導コイルは、全体をエポキシ樹脂により含浸することにより、さらに強度を増すことができる。この場合、エポキシ系以外にも、
20 シリコン系、ウレタン系等でもよく、特に限定されるものではない。

第6図は、本発明における超電導マグネットの構成図の一例を示す。超電導マグネット11には、本実施例で作製した超電導線材を使用した。マグネット11はクライオスタット12内に設置し、液体水素13により冷却される。銅電極14、電流リード15を介して、永久電流スイッチ16と超電導マグネット11が接続される。

本構成において、超電導マグネットの両端に $10^{-13}\Omega\cdot\text{m}$ の比抵抗が発生した電流値で定義した臨界電流は 200A であり、このときの発生磁場は 3.8

Tであった。また、この状態で永久電流動作に移行すると、2.4 テスラの磁場を120時間にわたって保持できた。

ここで、電流リード15には酸化物超電導電流リードを利用すれば、システムへの熱侵入を低減できる効果があり、更に、抵抗による永久電流の減衰を抑制可能である。また、永久電流スイッチに酸化物超電導体を用いると、液体窒素で冷却した簡便なシステムが構築できるメリットがある。

第7図は本発明における強磁場発生超電導マグネットの構成図の一例を示す。超電導マグネットは、酸化物系超電導マグネット17及び金属系超電導マグネット18が使用され、液体ヘリウム19内で最大20Tの磁場を印加することが可能である。この各マグネットは直接に接続されており、クライオスタット12内で異種の超電導線材同士を接続する必要がある。ここでは、酸化物系超電導線材と金属系超電導線材を接続する必要がある。この接続部20に、両超電導線材と本実施例で作製した超電導線材の3種線材を圧着接続した。

本構成において、例えば酸化物系と金属系の接続においては、従来は 10^{-10} Ωの抵抗を有していたが、この接続部に本実施例で作製した超電導線材を用いて、両者を圧着してつなぐことにより、抵抗値が 10^{-14} Ωまで低減した。

本発明の酸化物超電導コイルは広く超電導機器に適用することが可能であつて、例えば、大型マグネット、核磁気共鳴分析装置、医療用磁気共鳴診断装置、超電導電力貯蔵装置、磁気分離装置、磁場中単結晶引上装置、冷凍機冷却超電導マグネット装置などに利用することにより、機器の高効率化を達成できる効果がある。

産業上の利用可能性

以上の説明から明らかなように、本発明の超電導線材とその製造方法、及びそれを用いた超電導マグネットにより、実用的な臨界電流密度を持つ超電導線材及び超電導マグネットを得ることが可能になる。

請求の範囲

1. ホウ素を含む超電導体を充填又は内包してなる超電導線材において、該超電導体の外周に金、銀、アルミニウム、銅、鉄、白金、パラジウム、ニッケル、
5 ステンレス、クロム、マグネシウム、タンタル、ニオブ、チタン、スズ、ベリリウム、タンクスチン又はコバルトから選ばれた単独の金属或いはそれらの複数から成る合金の金属被覆材が配置され、最終加工後の該超電導体の密度が理論密度の 80 %以上であり、かつ該超電導線材の臨界温度が 30 K以上であることを特徴とする超電導線材。

10 2. 請求項 1 に記載の超電導線材において、該超電導線材に含まれる超電導体中に、該超電導体よりも低融点の金属粉末が添加されていることを特徴とする超電導線材。

15 3. 請求項 2 に記載の超電導線材において、該金属粉末の元素がインジウム、鉛、金、銀、マグネシウム又はアルミニウムから選ばれる単独或いはそれらの複数から成ることを特徴とする超電導線材。

4. 請求項 1 又は 2 に記載の超電導体の平均結晶粒径 S と、請求項 2 又は 3 に記載の金属粉末の平均粒径 M が、
$$S \geq M$$
で表されることを特徴とする超電導線材。

20 5. 超電導体の平均結晶粒径が $20 \mu\text{m}$ 以下であることを特徴とする請求項 4 に記載の超電導線材。

6. 請求項 2 ~ 4 のいずれかに記載の金属粉末の添加量が、該超電導体の重量比率に対して 50 以下であることを特徴とする超電導線材。

25 7. ホウ素を含む超電導体を合成する第 1 の工程と、該第 1 の工程で作製した該超電導体を金、銀、アルミニウム、銅、鉄、白金、パラジウム、ニッケル、ステンレス、クロム、マグネシウム、タンタル、ニオブ、チタン、スズ、ベリリウム、タンクスチン、コバルトから選ばれた単独の金属或いはそれらの複数

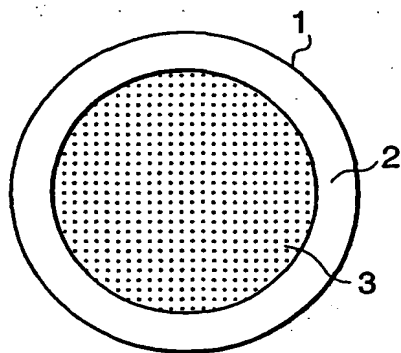
から成る合金の金属被覆材に充填又は内包する第2の工程と、該第2の工程で作製した線材に断面積の減少率が少なくとも10%以上となる縮径加工を行う第3の工程、或いは該線材に少なくとも1ton/cm²以上の圧力を加えて変形させる第4の工程の一方又は両方の工程を有することを特徴とする超電導線材の
5 製造方法。

8. 請求項7に記載の超電導線材の製造方法において、第3の工程或いは第4の工程において、超電導線材内に含まれる超電導体もしくは添加した金属粉末の単独あるいは両方の一部分が溶融し始める温度以上の領域まで温度が上昇することを特徴とする超電導線材の製造方法。
- 10 9. 請求項7又は8に記載の超電導線材の製造工程において、該超電導線材に対する加熱処理工程を一度も行わないことを特徴とする超電導線材の製造方法。
10. 請求項7に記載の第1の工程において、フッ化物を原料とすることを特徴とする超電導線材の製造方法。
- 15 11. 請求項7～10のいずれかに記載の超電導線材の製造方法により作製した超電導線材を用いて、コイル状に巻線する永久電流スイッチを有する超電導マグネットであって、該超電導マグネットの両端の電気抵抗が、永久電流磁石として機能する程度に十分低く構成してなることを特徴とする超電導マグネット。
- 20 12. 請求項11に記載の超電導マグネットにおいて、異種の超電導体を組み合わせて成る該超電導マグネットの超電導体同士の接続部分において、請求項7～10のいずれかに記載の超電導線材の製造方法により作製された超電導線材を用いて接続されていることを特徴とする超電導マグネット。
- 25 13. 請求項11又は12に記載の超電導マグネットであって、該超電導マグネットの機械強度が、該超電導マグネットに加わる電磁力を支持するに十分な強さであることを特徴とする超電導マグネット。
14. 請求項11～13のいずれかに記載の該超電導マグネットにおいて、

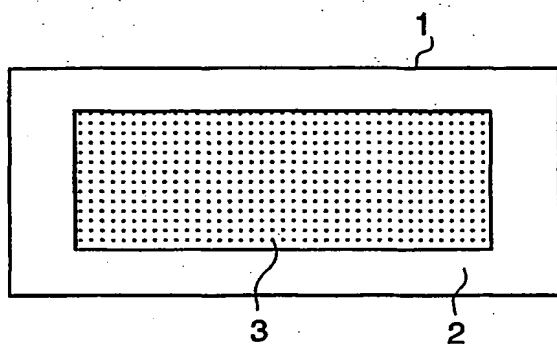
超電導線材と合わせ巻きする該絶縁材として、重量比率で0.1～20%のアルミニウムを含有する銅合金、ステンレス鋼、チタン合金、鉄基耐熱合金、ニッケル基耐熱合金、コバルト基耐熱合金から選ばれる単独或いはそれらの複数から成る金属を用いたことを特徴とする超電導マグネット。

1/4

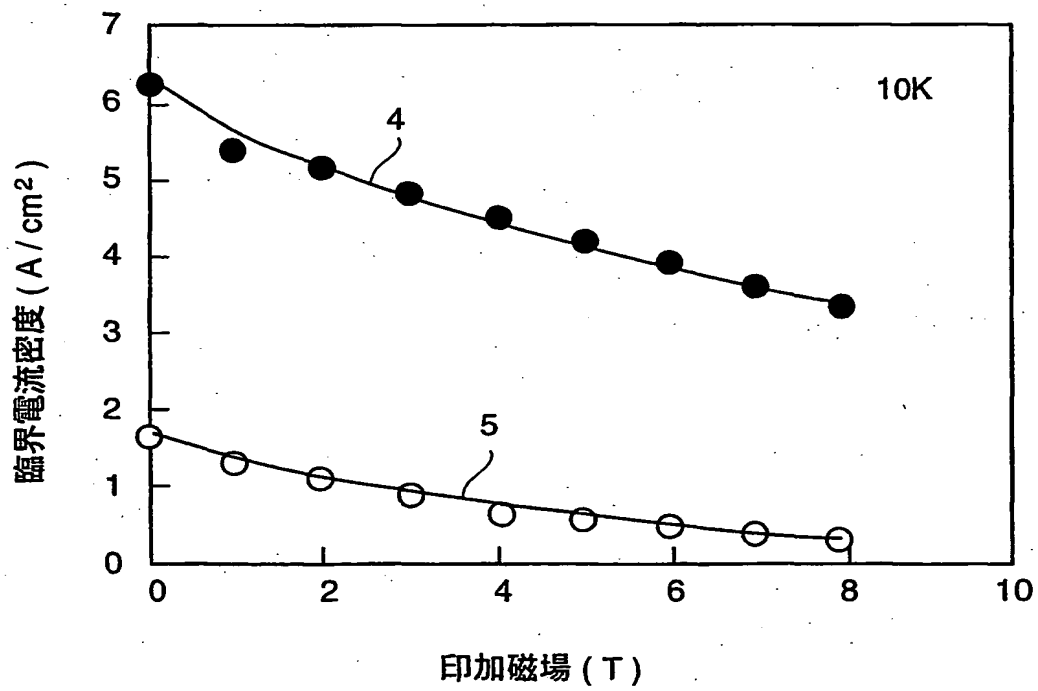
第1図



第2図

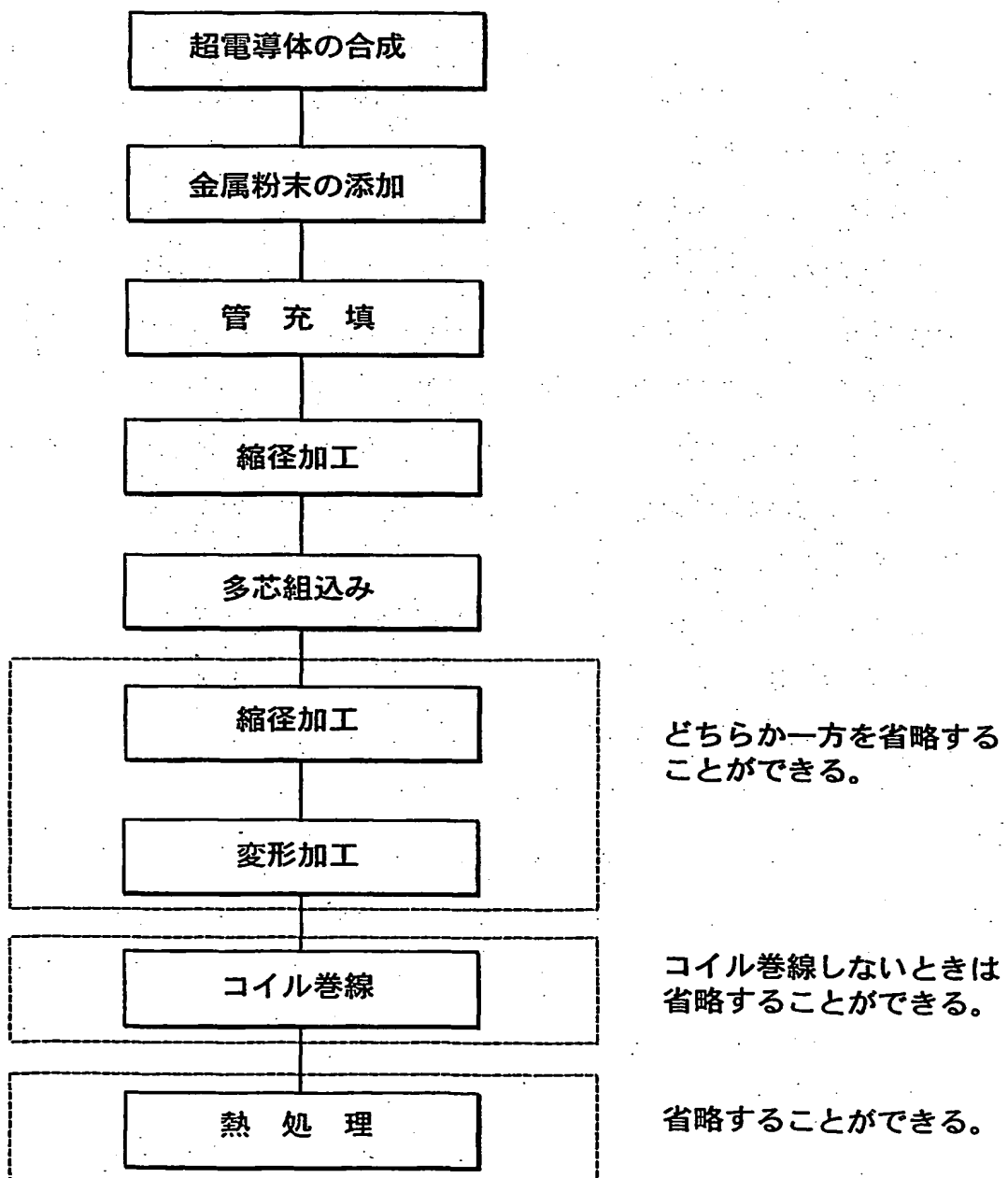


第3図



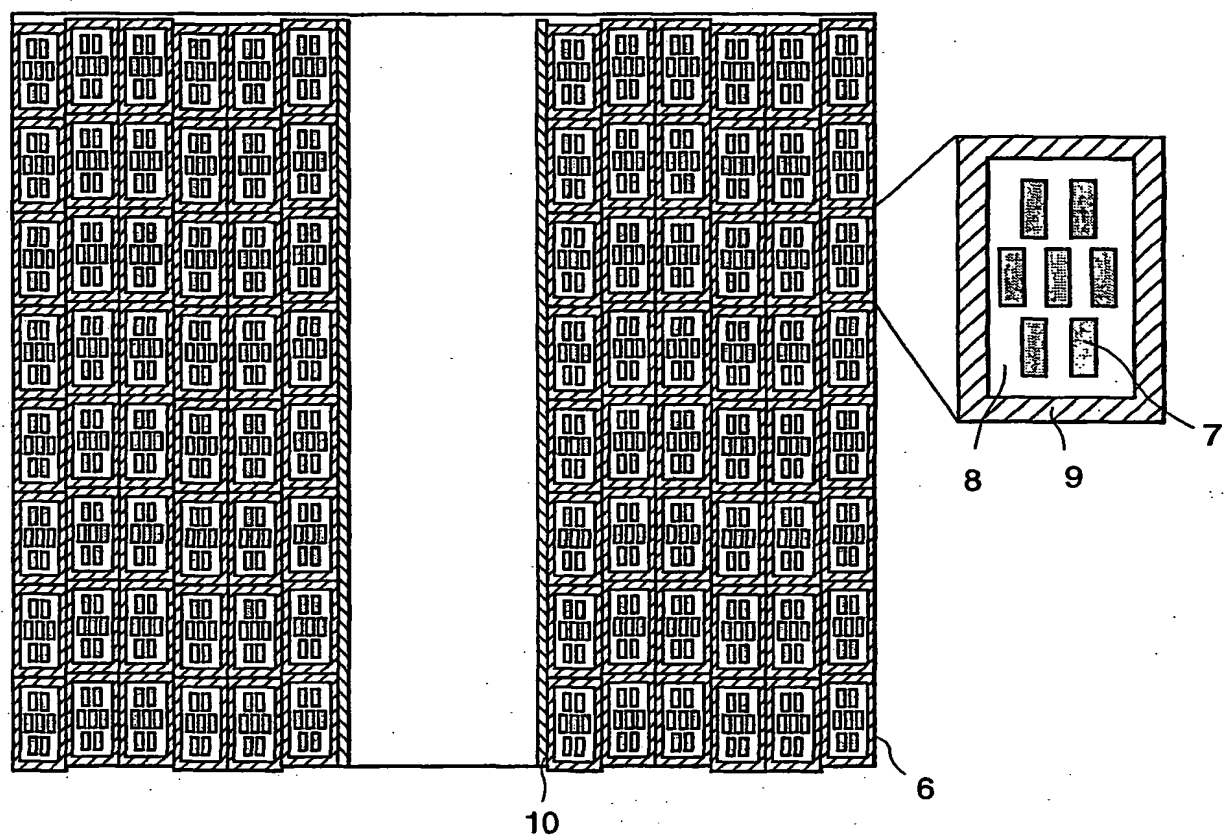
2 / 4

第4図



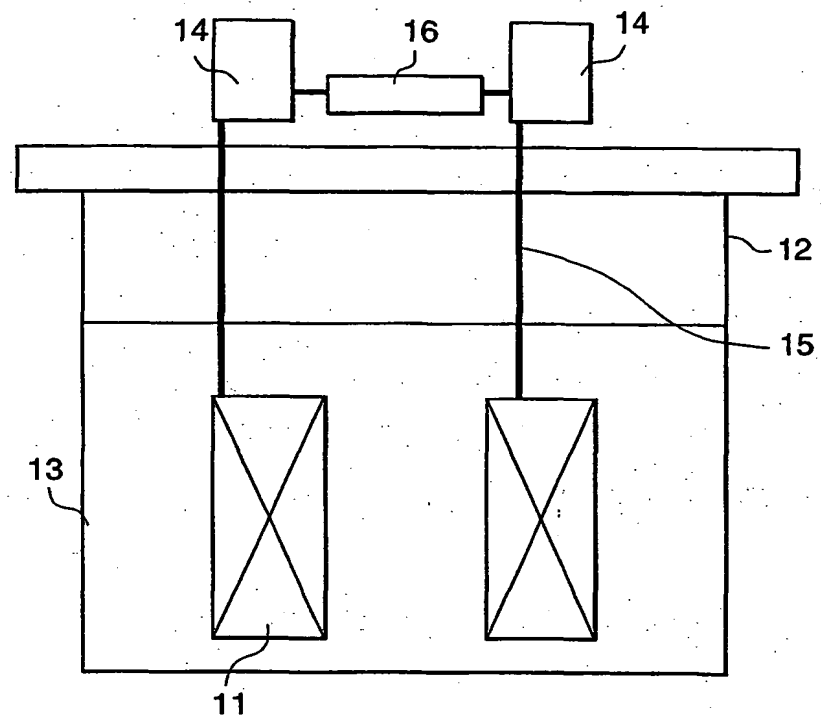
3 / 4

第5図

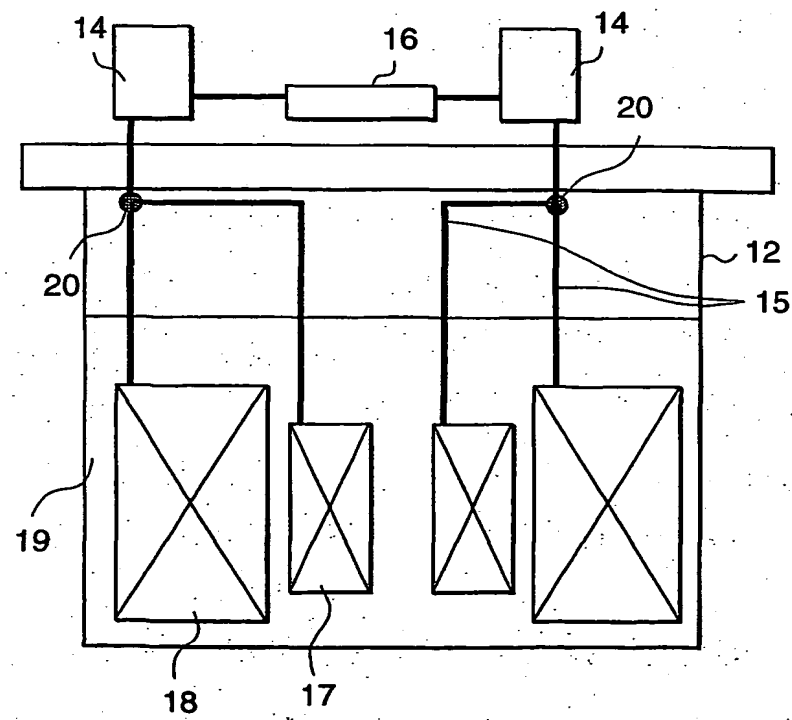


4 / 4

第6図



第7図



INTERNATIONAL SEARCH REPORT

International application No.

PCT/JP02/05814

A. CLASSIFICATION OF SUBJECT MATTER

Int.Cl⁷ H01B12/04, H01B13/00, H01F6/00

According to International Patent Classification (IPC) or to both national classification and IPC

B. FIELDS SEARCHED

Minimum documentation searched (classification system followed by classification symbols)

Int.Cl⁷ H01B12/04, H01B13/00, H01F6/00

Documentation searched other than minimum documentation to the extent that such documents are included in the fields searched

Jitsuyo Shinan Koho	1926-1996	Toroku Jitsuyo Shinan Koho	1994-2002
Kokai Jitsuyo Shinan Koho	1971-2002	Jitsuyo Shinan Toroku Koho	1996-2002

Electronic data base consulted during the international search (name of data base and, where practicable, search terms used)

JOIS, MgB₂

C. DOCUMENTS CONSIDERED TO BE RELEVANT

Category*	Citation of document, with indication, where appropriate, of the relevant passages	Relevant to claim No.
X	P.C. Canfield et al., Superconductivity in Dense	1
Y	MgB ₂ Wires, 2001, Vol.86, No.11, Physical Review	1
A	Letters, pages 2423 to 2426	2-6,7-10, 11-14
X	S. Jin et al., High critical currents in iron-clad	7
Y	superconducting MgB ₂ wires, 2001, Vol.411, No.6837,	1
A	Nature, pages 563 to 565	2-6,8-10, 11-14
A	C.E. Cunningham et al., Synthesis and processing	1-14
	of MgB ₂ powders and wires, 2001, Vol.353, No.1/2,	
	pages 5 to 10	
A	B.A. Glowacki et al., Superconductivity of powder-in-tube MgB ₂ wires, 2001, Vol.14, No.4, Physica C,	1-14
	pages 193 to 199	

 Further documents are listed in the continuation of Box C. See patent family annex.

* Special categories of cited documents:

- "A" document defining the general state of the art which is not considered to be of particular relevance
- "E" earlier document but published on or after the international filing date
- "L" document which may throw doubts on priority claim(s) or which is cited to establish the publication date of another citation or other special reason (as specified)
- "O" document referring to an oral disclosure, use, exhibition or other means
- "P" document published prior to the international filing date but later than the priority date claimed

- "T" later document published after the international filing date or priority date and not in conflict with the application but cited to understand the principle or theory underlying the invention
- "X" document of particular relevance; the claimed invention cannot be considered novel or cannot be considered to involve an inventive step when the document is taken alone
- "Y" document of particular relevance; the claimed invention cannot be considered to involve an inventive step when the document is combined with one or more other such documents, such combination being obvious to a person skilled in the art
- "&" document member of the same patent family

Date of the actual completion of the international search
09 September, 2002 (09.09.02)Date of mailing of the international search report
17 September, 2002 (17.09.02)Name and mailing address of the ISA/
Japanese Patent Office

Authorized officer

Facsimile No.

Telephone No.

INTERNATIONAL SEARCH REPORT

International application No.

PCT/JP02/05814

C (Continuation). DOCUMENTS CONSIDERED TO BE RELEVANT

Category*	Citation of document, with indication, where appropriate, of the relevant passages	Relevant to claim No.
A	Jun NAGAMATSU et al., Superconductivity at 39K in magnesium diboride, 2001, Vol. 410, No. 6824, Nature, pages 63 to 64	1-14

INTERNATIONAL SEARCH REPORT

International application No.

PCT/JP02/05814

Box I Observations where certain claims were found unsearchable (Continuation of item 1 of first sheet)

This international search report has not been established in respect of certain claims under Article 17(2)(a) for the following reasons:

1. Claims Nos.:

because they relate to subject matter not required to be searched by this Authority, namely:

2. Claims Nos.:

because they relate to parts of the international application that do not comply with the prescribed requirements to such an extent that no meaningful international search can be carried out, specifically:

3. Claims Nos.:

because they are dependent claims and are not drafted in accordance with the second and third sentences of Rule 6.4(a).

Box II Observations where unity of invention is lacking (Continuation of item 2 of first sheet)

This International Searching Authority found multiple inventions in this international application, as follows:
(see extra sheet)

1. As all required additional search fees were timely paid by the applicant, this international search report covers all searchable claims.
2. As all searchable claims could be searched without effort justifying an additional fee, this Authority did not invite payment of any additional fee.
3. As only some of the required additional search fees were timely paid by the applicant, this international search report covers only those claims for which fees were paid, specifically claims Nos.:
4. No required additional search fees were timely paid by the applicant. Consequently, this international search report is restricted to the invention first mentioned in the claims; it is covered by claims Nos.:

Remark on Protest

The additional search fees were accompanied by the applicant's protest.

No protest accompanied the payment of additional search fees.

INTERNATIONAL SEARCH REPORT

International application No.

PCT/JP02/05814

Continuation of Box No.II of continuation of first sheet(1)

Where a group of inventions is claimed, the requirement of unity of invention shall be fulfilled only when there is a special technical feature which links the group of inventions so as to form a single general inventive concept.

The matter "a superconducting wire material which comprises a superconductor containing boron packed or involved therein, wherein a metallic cover material comprising tantalum is arranged around the perimeter of the superconductor, the superconductor after the final processing has a density of 80 % or more of the theoretical density thereof, and the superconducting wire material has a critical temperature of 30 K or higher" is described in a prior art document, P.C. Canfield et al. Superconductivity in Dense MgB₂ Wires, 2001, Vol. 86, No.11, PHYSICAL REVIEW LETTERS, page 2423 to 2426, and therefore, is not a "special technical feature".

The technical feature according to claim 7 is also not a "special technical feature", since Jin et al., High critical currents in iron-clad superconducting MgB₂ wires, 2001, Vol. 411, No. 6837, Nature, page 563 to 565 has a description relating to "a method for preparing a superconducting wire material which comprises a first step of synthesizing boron, a second step of packing or involving the superconductor prepared in the first step in a metallic cover material, and a step of subjecting a material having a diameter of 5 to 6.35 mm to a cross section reducing processing to give a product having a thickness of 0.25 to 0.5 mm and a width of 3 to 5 mm".

Further, claim 2 and claim 8 can fulfill the requirement of unity of invention only when claim 8 technically involves the technical features of claim 2, i.e., "a metal powder having a melting point lower than that of a superconductor is added" and "the superconductor after the final processing has a density of 80 % or more of the theoretical density thereof, and the superconducting wire material has a critical temperature of 30 K or higher". However, claim 8 does not clearly indicate as to whether the metal powder has a melting point lower than that of the superconductor or not, and further the practice of a step of melting the superconductor or the metal powder and a step of a cross section reducing processing at a reduction rate of 10 % or more and a deformation processing with the application of a pressure of 1 ton/cm² or more does not necessarily result in the achievement of the density of the superconductor of 80 % or more of the theoretical density and the critical temperature of the superconducting wire material of 30 K or higher. Therefore, there is no "special technical feature" between claim 2 and claim 8.

Accordingly, the claims of this international application describes at least four inventions classified into claims 1, 2 to 6, 7, and 8 to 14.

A. 発明の属する分野の分類 (国際特許分類 (IPC))

Int. Cl' H01B 12/04 H01B 13/00
H01F 6/00

B. 調査を行った分野

調査を行った最小限資料 (国際特許分類 (IPC))

Int. Cl' H01B 12/04 H01B 13/00
H01F 6/00

最小限資料以外の資料で調査を行った分野に含まれるもの

日本国実用新案公報	1926-1996年
日本国公開実用新案公報	1971-2002年
日本国登録実用新案公報	1994-2002年
日本国実用新案登録公報	1996-2002年

国際調査で使用した電子データベース (データベースの名称、調査に使用した用語)

JOIS, MgB₂

C. 関連すると認められる文献

引用文献の カテゴリー*	引用文献名 及び一部の箇所が関連するときは、その関連する箇所の表示	関連する 請求の範囲の番号
X	P. C. Canfield et al. Superconductivity in Dense MgB ₂ Wires, 2001, Vol. 86, No. 11, PHYSICAL REVIEW LETTERS, page 2423 to 2426	1
Y		1
A		2-6, 7-10, 11-14
X	S. Jin et al. High critical currents in iron-clad superconducting MgB ₂ wires, 2001, Vol. 411, No. 6837, Nature, page 563 to 565	7
Y		1
A		2-6, 8-10, 11-14

 C欄の続きにも文献が列挙されている。 パテントファミリーに関する別紙を参照。

* 引用文献のカテゴリー

「A」特に関連のある文献ではなく、一般的技術水準を示すもの

「E」国際出願日前の出願または特許であるが、国際出願日以後に公表されたもの

「L」優先権主張に疑義を提起する文献又は他の文献の発行日若しくは他の特別な理由を確立するために引用する文献 (理由を付す)

「O」口頭による開示、使用、展示等に言及する文献

「P」国際出願日前で、かつ優先権の主張の基礎となる出願

の日の後に公表された文献

「T」国際出願日又は優先日後に公表された文献であって出願と矛盾するものではなく、発明の原理又は理論の理解のために引用するもの

「X」特に関連のある文献であって、当該文献のみで発明の新規性又は進歩性がないと考えられるもの

「Y」特に関連のある文献であって、当該文献と他の1以上の文献との、当業者にとって自明である組合せによって進歩性がないと考えられるもの

「&」同一パテントファミリー文献

国際調査を完了した日

09.09.02

国際調査報告の発送日

17.09.02

国際調査機関の名称及びあて先

日本国特許庁 (ISA/JP)

郵便番号 100-8915

東京都千代田区霞が関三丁目4番3号

特許庁審査官 (権限のある職員)

青木 千歌子

4X 9351

電話番号 03-3581-1101 内線 3477

C (続き) 関連すると認められる文献		関連する請求の範囲の番号
引用文献の カテゴリー*	引用文献名 及び一部の箇所が関連するときは、その関連する箇所の表示	
A	C. E. Cunningham et al. Synthesis and processing of MgB ₂ powders and wires, 2001, Vol. 353, No. 1/2, page 5 to 10	1-14
A	B. A. Glowacki et al. Superconductivity of powder-in-tube MgB ₂ wires, 2001, Vol. 14, No. 4, Physica C, page 193 to 199	1-14
A	Jun Nagamatsu et al. Superconductivity at 39K in magnesium diboride, 2001, Vol. 410, No. 6824, Nature, page 63 to 64	1-14

請求の範囲に記載されている一群の発明が発明の单一性の要件を満足するためには、その一群の発明を单一の一般的発明概念を形成するように連関させる「特別な技術的特徴」の存在が必要である。

請求の範囲1に記載された「ホウ素を含む超電導体を充填又は内包してなる超電導線材において、該超電導線材の外周にタンタルからなる金属被覆材が配置され、最終加工後の該超電導体の密度が理論密度の80%以上であり、かつ該超電導線材の臨界温度が30K以上である超電導線材」は、先行技術文献であるP. C. Canfield et al. *Superconductivity in Dense MgB₂ Wires*, 2001, Vol. 86, No. 11, PHYSICAL REVIEW LETTERS, page 2423 to 2426に記載されており、「特別な技術的特徴」とはなり得ない。

また、先行技術文献であるS. Jin et al. *High critical currents in iron-clad superconducting MgB₂ wires*, 2001, Vol. 411, No. 6837, Nature, page 563 to 565には、「ホウ素を合成する第1の工程と、該第1の工程で作製した該超電導体を鉄の金属被覆材に充填又は内包する第2の工程と、5-6. 35mm直径のものを厚み0. 25-0. 5mm、幅3-5mmに断面積減少加工をする超電導線材の製造方法」が記載されているから、請求の範囲7に記載された技術的特徴も「特別な技術的特徴」とはなり得ない。

さらに、請求の範囲2と8が発明の单一性の要件を満足するためには、請求の範囲2における「超電導体よりも低融点の金属粉末が添加されている」及び「最終加工後の超電導体の密度が理論密度の80%以上であり、かつ臨界温度が30K以上である」という技術的特徴を請求の範囲8が技術的に含んでいることが必要であるが、請求の範囲8では、超電導体と金属粉末の融点の高低が明確ではないし、超電導体または金属粉末の溶融工程と線材の断面減少率10%の縮径加工または1ton/cm²以上の圧力を加えた変形加工を経れば超電導体の密度が理論密度の80%以上となり、臨界温度が30K以上になるわけではないから、請求の範囲2と8の間に「特別な技術的特徴」は存在しないものと認められる。

そうすると、この国際出願の請求の範囲には、少なくとも請求の範囲1、2-6、7、8-14に区分される4個の発明が記載されているものと認められる。

第I欄 請求の範囲の一部の調査ができないときの意見（第1ページの2の続き）

法第8条第3項（PCT第17条(2)(a)）の規定により、この国際調査報告は次の理由により請求の範囲の一部について作成しなかった。

1. 請求の範囲 _____ は、この国際調査機関が調査をすることを要しない対象に係るものである。つまり、

2. 請求の範囲 _____ は、有意義な国際調査をすることができる程度まで所定の要件を満たしていない国際出願の部分に係るものである。つまり、

3. 請求の範囲 _____ は、従属請求の範囲であってPCT規則6.4(a)の第2文及び第3文の規定に従って記載されていない。

第II欄 発明の単一性が欠如しているときの意見（第1ページの3の続き）

次に述べるようにこの国際出願に二以上の発明があるとこの国際調査機関は認めた。

特別ページに続く。

1. 出願人が必要な追加調査手数料をすべて期間内に納付したので、この国際調査報告は、すべての調査可能な請求の範囲について作成した。

2. 追加調査手数料を要求するまでもなく、すべての調査可能な請求の範囲について調査することができたので、追加調査手数料の納付を求めなかった。

3. 出願人が必要な追加調査手数料を一部のみしか期間内に納付しなかったので、この国際調査報告は、手数料の納付のあった次の請求の範囲のみについて作成した。

4. 出願人が必要な追加調査手数料を期間内に納付しなかったので、この国際調査報告は、請求の範囲の最初に記載されている発明に係る次の請求の範囲について作成した。

追加調査手数料の異議の申立てに関する注意

追加調査手数料の納付と共に出願人から異議申立てがあった。
 追加調査手数料の納付と共に出願人から異議申立てがなかった。

**This Page is Inserted by IFW Indexing and Scanning
Operations and is not part of the Official Record**

BEST AVAILABLE IMAGES

Defective images within this document are accurate representations of the original documents submitted by the applicant.

Defects in the images include but are not limited to the items checked:

- BLACK BORDERS**
- IMAGE CUT OFF AT TOP, BOTTOM OR SIDES**
- FADED TEXT OR DRAWING**
- BLURRED OR ILLEGIBLE TEXT OR DRAWING**
- SKEWED/SLANTED IMAGES**
- COLOR OR BLACK AND WHITE PHOTOGRAPHS**
- GRAY SCALE DOCUMENTS**
- LINES OR MARKS ON ORIGINAL DOCUMENT**
- REFERENCE(S) OR EXHIBIT(S) SUBMITTED ARE POOR QUALITY**
- OTHER:** _____

IMAGES ARE BEST AVAILABLE COPY.

As rescanning these documents will not correct the image problems checked, please do not report these problems to the IFW Image Problem Mailbox.